

ИССЛЕДОВАНИЕ ДВУХФАЗНОГО ТЕЧЕНИЯ В КАНАЛЕ С РАЗРУШАЮЩИМИСЯ СТЕНКАМИ

В. В. Крикливый, А. П. Трунев, В. М. Фомин

(Новосибирск)

В работе рассматривается задача о двухфазном течении в осесимметричном канале, стенки которого могут разрушаться путем эрозии. Двухфазные течения в каналах, сопровождающиеся эрозией отенок, изучались в [1—4]. Поскольку механизм передачи энергии к разрушаемой поверхности может быть различным в зависимости от условий на границах течения, каждое из перечисленных исследований представляет самостоятельный интерес. Здесь рассматривается эрозия при ударном воздействии твердых или жидких частиц [5], а основным механизмом передачи энергии предполагается конвективный перенос конденсированной фазы. Модель эрозии, описывающая этот случай, предложена в [6], что и легло в основу данной работы. Получены некоторые точные соотношения, связывающие параметры конденсированной фазы с параметрами контура осесимметричного канала. Показано, что процесс эрозии при конвективном выносе частиц на стенку развивается неустойчивым образом, и сделана оценка времени развития неустойчивости. Разработана численная квазиодномерная модель двухфазного течения в канале с разрушающимися стенками, позволяющая выполнить широкий круг параметрических исследований.

1. Определение траекторий частиц в двухфазном течении. Рассмотрим течение смеси газа и твердых частиц в осесимметричном канале с криволинейными стенками. Будем считать газ невязким и нетеплопроводным при его взаимодействии с твердой границей и будем пренебрегать собственным объемом частиц. Для описания течения введем цилиндрическую систему координат с началом во входном сечении канала, осевую координату обозначим через x , радиальную — через y . При стационарном движении частиц радиуса a вдоль траектории движения $y_a(x)$ выполняются уравнения [7]

$$(1.1) \quad u_a du_a/dx = \varphi_a(u - u_a), \quad u_a dv_a/dx = \varphi_a(v - v_a), \\ dy_a/dx = v_a/u_a,$$

где u_a , v_a — соответственно осевая и радиальная компоненты скорости частиц; φ_a — параметр межфазного силового взаимодействия. Путем дифференцирования последнего из уравнений (1.1) и комбинирования результата с двумя первыми, получим уравнение

$$(1.2) \quad l_a y_a'' + y_a' - \frac{v}{u} = 0.$$

Здесь параметр $l_a = u_a^2/(\varphi_a u)$ имеет размерность длины и является мерой отличия траекторий частиц от линий тока несущего газа. В частности, при $l_a \rightarrow 0$ из (1.2) следует $y_a' = v/u$, т. е. траектории частиц в этом случае совпадают с линиями тока несущего газа, напротив, при $l_a \rightarrow \infty$ имеем $y_a'' = 0$, т. е. частицы в этом случае являются свободными и движутся вдоль прямых линий. Для идеального газа на твердой границе течения $y_w(x)$ выполняется условие непротекания ($u/v = y_w'$). Используя уравнение неразрывности, это условие можно продолжить во внутрь области течения. Тогда вблизи стенки будем иметь

$$v/u = y_w' + (y_w - y) \frac{d}{dx} \ln(\rho u y)_w + \dots,$$

где индекс w означает, что указанная величина берется на стенке канала, а многоточием отмечены члены более высокого порядка малости в разложении отношения v/u . Подставляя это выражение в уравнение (1.2), окончательно имеем

$$(1.3) \quad l_a y_a'' + y_a' - y_w' + (y_a - y_w) \frac{d}{dx} \ln(\rho u y)_w = 0.$$

Уравнение (1.3) описывает пучок траекторий частиц, движущихся вблизи стенки канала и дающих основной вклад в поток энергии на разрушае-

мую поверхность. Ранее было установлено, что вынос частиц на стенку в одном случае обусловлен кривизной линий тока несущего газа, а в другом случае все определяется условиями на входе в канал и большой инерцией конденсированной фазы [1—4]. Видимо, на практике оба случая могут иметь значение, однако в данной работе будет рассмотрен лишь первый из них, что описывается уравнением (1.3).

Оценим численно величину l_a в уравнении (1.3). Для сферической частицы имеем

$$l_a \leq 8\rho_s u_a^2 a / (3\rho u |u - u_a| C_D),$$

где C_D — коэффициент сопротивления; ρ_s — плотность материала частицы. Полагая $u_a = 0,7 u$, $C_D \approx 1$, что отвечает движению со значительным скоростным отставанием частиц, получаем при $\rho_s/\rho = 4 \cdot 10^3$ оценку $l_a \leq 2 \cdot 10^4 a$. Для частиц микронного размера, движущихся в канале с характерным размером $L \approx 1$ м, будем иметь в уравнении (1.3) малый параметр при старшей производной, равный $\varepsilon = l_a/L \leq 10^{-1}$. Наличие малого параметра упрощает исследование задачи, которая, однако, является сингулярно возмущенной [8, 9], что налагает некоторые ограничения на класс функций $y_w(x)$, фигурирующих в анализе. Используя теорию возмущений, можно получить следующий результат: при попадании частиц на стенку канала наклон траекторий частиц определяется из уравнения (ср. с [9])

$$(1.4) \quad y'_a = y'_w - l_a y''_w + O(\varepsilon^2), \quad \varepsilon \ll 1.$$

Здесь в качестве характерного размера выбран местный радиус кривизны. Анализ уравнения (1.4) позволяет сделать вывод, что выпадение частиц на стенку происходит на участке течения с отрицательной кривизной контура. Посредством теории возмущений можно установить и место выпадения частицы, начавшей движение в точке с координатами (x_0, y_0) . В первом приближении из уравнения (1.3) имеем для траектории частицы выражение

$$y_a = y_g - (\rho u y)_w^{-1} \int_{x_0}^x (\rho u y)_w l_a y''_w dx + O(\varepsilon^2),$$

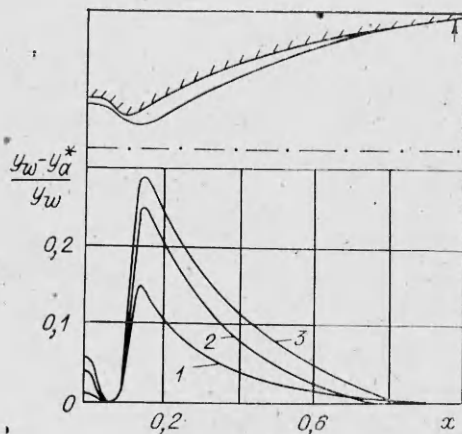
где y_g — линия тока газа, удовлетворяющая условию $y_g(x_0) = y_0$. В частности, существует траектория, для которой справедливо равенство $y_g(x_0) = y_w(x_0)$, и поэтому $y_g(x) = y_w(x)$. Эта линия отделяет пристеночную область чистого газа от области двухфазного течения. Сепарация частиц обычно наблюдается в соплах и является особенностью двухфазных течений [9]. Уравнение границы раздела имеет вид

$$(1.5) \quad y_a^* = y_w - (\rho u y)_w^{-1} \int_{x_0}^x (\rho u y)_w l_a y''_w dx + O(\varepsilon^2).$$

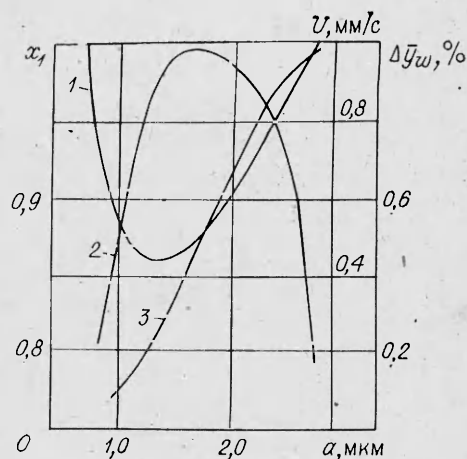
(Заметим, что если $(\rho u y)_w \neq \text{const}$, то, вопреки [9], уравнение линии раздела (1.3) сводится к (1.4) только при $y_a = y_w$.) Полагая, что в некоторой точке x_1 $y_a^*(x_1) = y_w(x_1)$, получим из (1.5) условие выпадения частиц на стенку сопла в сверхзвуковой части в виде

$$(1.6) \quad \int_{x_0}^{x_1} (\rho u y)_w l_a y'_w dx = (\rho u y)_w O(\varepsilon^2).$$

Из (1.6) следует, что для нахождения зависимостей $x_0(a)$, $x_1(a)$ необходимо исследовать второй порядок теории возмущений для решения уравнения (1.3). Таким образом, с точностью $\sim \varepsilon$ координаты выпадения частиц на стенку $x_0(a)$, $x_1(a)$ не зависят от размера частиц. Численные расчеты траекторий частиц подтверждают эти выводы. На фиг. 1 показана отно-



Фиг. 1



Фиг. 2

сительная величина предельных траекторий $(y_w - y_a^*)/y_w$ — кривые 1—3 для частиц с диаметром 1,5; 2,8; 4,0 мкм соответственно. В верхней части фиг. 1 изображены общий вид контура сопла и одна из траекторий частиц. Можно видеть, что наиболее мелкие частицы находятся всюду ближе к стенке, за исключением области эрозии в сверхзвуковой части сопла, где более крупные частицы (кривые 2, 3) выпадают раньше, нежели мелкие (кривая 1). Из анализа предельных случаев $l_a \rightarrow 0, \infty$ для решения уравнения (1.3) следует, что зависимость точки выпадения от размера частиц $x_1(a)$ имеет немонотонный характер. Это подтверждается численными расчетами. На фиг. 2 нанесена зависимость $x_1(a)$ (кривая 1) для сопла с параболической образующей в концевом участке. Здесь наблюдается отчетливый минимум на кривой $x_1(a)$.

Обычно точка x_0 соответствует части контура в дозвуковой области течения, где вторая производная контура y_w'' меняет знак (возможно, скачком). На участке горловины сопла, где $y_w'' > 0$, интеграл (1.6) возрастает, поэтому необходимое условие выноса частиц в сверхзвуковой части состоит в наличии участка контура с отрицательной кривизной, $y_w'' < 0$. Так, в коническом сопле $y_w'' = 0$, вынос частиц здесь не является возможным, что и было установлено в [10] путем численного анализа. С другой стороны, у сопла с параболической образующей $y_w'' < 0$, поэтому может реализоваться вынос частиц на стенку. Другое необходимое условие выноса для сопла конечной длины L состоит в наличии фракций частиц, размер которых удовлетворяет условию $x_1(a) < L$.

Итак, ускорения, порождаемые кривизной линий тока несущего газа и действующие на инерционные частицы, являются основной причиной выноса частиц на границу двухфазного течения в канале с достаточно большими размерами. Однако если параметр релаксации l_a велик ($l_a \geq L$), то вынос частиц на стенку будет определяться условиями на входе в канал, в основном начальной величиной наклона траекторий частиц $y_a'(0)$ [4].

2. Модель эрозионного разрушения. Частицы, достигающие стенки канала, обладают значительным запасом кинетической энергии. При выпадении в сверхзвуковой части сопла скорость частицы может превышать 1 км/с. При соударении с высокой скоростью в точке контакта развиваются значительные напряжения и происходит разрушение материала стенки. Эффект разрушения становится еще более заметным при соударении с потоком частиц. В этом случае происходит массовый унос материала стенки, что математически можно описывать зависимостью $y_w = y_w(x, t)$. Согласно [6], будем иметь для функции $y_w(x, t)$ уравнение (ниже всюду

полагаем $y'_a > y'_w$, в противном случае считаем $\partial y_w / \partial t = 0$)

$$(2.1) \quad \rho^* \frac{\partial y_w}{\partial t} = \sum_a E_a \rho_a u_a (y'_a - y'_w).$$

Здесь ρ^* — плотность эродируемого материала (стенки); E_a — коэффициент эрозии, являющийся функцией параметров соударения; ρ_a — плотность потока дискретной фазы. Для течения с монодисперсными частицами достаточно сохранить одно слагаемое в правой части (2.1). Анализ многочисленных данных по эрозии [2, 5, 11], а также данных по высокоскоростному удару [12] приводит к выводу, что в области малых углов соударения коэффициент эрозии можно представить в виде

$$E_a = (V_a^2 / \sigma_{\text{эп}}) (\sin \alpha_a)^q, \quad \alpha_a \leq 20^\circ,$$

где $\sigma_{\text{эп}}$ — параметр, характеризующий сопротивление материала эрозионному разрушению; q — показатель степени, могущий меняться в широких пределах для различных материалов. Так, согласно [11], при средней скорости соударения $q = 0,802$ для графита и $q = 1,63$ для стекла. Угол соударения удобно выразить через наклон траектории и местный наклон стенки по формуле

$$\alpha_a = \text{arctg} \left(\frac{y'_a - y'_w}{1 + y'_a y'_w} \right)$$

и, кроме того, положить $V_a^2 = u_a^2 (1 + y_a'^2)^{q+1}$.

Тогда при эрозии монодисперсными частицами уравнение износа стенки будет иметь вид

$$(2.2) \quad \frac{\partial y_w}{\partial t} = G \frac{1 + y_a'^2}{(1 + y'_a y'_w)^q} (y'_a - y'_w)^{q+1},$$

где G — характерная скорость эрозии ($G = \rho u_a^3 / (\rho^* \sigma_{\text{эп}})$). При выводе уравнения (2.1) предполагалось, что влияние продуктов эрозии на течение смеси является незначительным. Это заведомо выполняется при малом расходе конденсированной фазы ($\rho_a / \rho < 1$). При $\rho_a \geq \rho$ вдув продуктов эрозии с разрушаемой поверхности может изменить параметры двухфазного пограничного слоя. Поскольку в данной работе течение предполагается невязким, будем пренебрегать и влиянием продуктов эрозии. В используемой модели не учитывается также тепловое разрушение материала стенки. Оценки показывают, что в исследуемой области параметров ($u_a \geq 1$ км/с) скорость эрозии более чем на порядок превышает скорость теплового разрушения. Влияние же температуры стенки на скорость эрозии может быть учтено путем определения зависимости $\sigma_{\text{эп}} = \sigma_{\text{эп}}(T_w)$ [13], однако в данной работе влияние температуры не принимается во внимание.

3. Замечание об устойчивости процесса эрозии сопел. Воспользуемся приближением малого скольжения конденсированной фазы ($\epsilon \ll 1$). Подставляя выражение (1.4) в (2.2), получим уравнение

$$(3.1) \quad \frac{\partial y_w}{\partial t} = -D(x, y'_w) \left| \frac{\partial^2 y_w}{\partial x^2} \right|^q \frac{\partial^2 y_w}{\partial x^2},$$

где $D(x, y'_w) = l_a^{q+1} G (1 + y_w'^2)^{1-q}$ — неотрицательная функция. Анализируя уравнение (3.1), приходим к выводу, что процесс эрозии при конвективном выносе частиц развивается подобно системе с отрицательной вязкостью [14]. Следовательно, система уравнений (1.3), (2.2) является асимптотически неустойчивой. Физические причины, способствующие развитию неустойчивости в системе двухфазное течение — разрушаемая ограничивающая поверхность, достаточно очевидны. Согласно уравнению (2.2), скорость эрозии тем выше, чем больше угол соударения, который, как это следует из приближенного выражения (1.4), увеличивается с рос-

том локальной кривизны стенки. Если в области эрозии образуется небольшая лунка, то скорость эрозии в окрестности лунки несколько возрастет, что приведет к увеличению локальной кривизны. Уравнение (3.1) предсказывает, что эта тенденция будет усиливаться. Для нахождения наиболее неустойчивой моды возмущения необходимо рассмотреть систему уравнений (1.3), (2.2), так как (3.1) справедливо лишь для возмущений с длиной волны $\lambda \gg l_a$. Учитывая, что указанные уравнения имеют переменные коэффициенты, решить эту задачу в общем случае не представляется возможным. Однако анализ системы, описывающей эрозию тонкого профиля [6], позволяет оценить время развития неустойчивости как

$$(3.2) \quad \tau \approx (R/l_p)^2 l_p / G_s$$

где R — местный радиус кривизны стенки. Используя оценку (3.2) в расчетах, следует учитывать, что это может оказаться неприменимым в ситуациях, где нелинейные эффекты имеют значение. Наконец, любопытно отметить, что при напылении частиц на поверхность процесс будет развиваться устойчивым образом, поскольку в этом случае также будет справедливо уравнение типа (3.1), но с иным знаком в правой части.

4. Численная модель и некоторые результаты расчетов. При разработке численной модели двухфазного течения в канале с разрушающимися стенками учитывалось многообразие параметров, способных влиять на процесс эрозии. На первом этапе исследования была разработана квазиодномерная модель, позволяющая выполнить широкий круг параметрических исследований.

Для расчета параметров двухфазного течения в осесимметричном канале использовалась модель Клингеля — Никерсона, подробно описанная в [15]. Начальный контур сопла задавался набором семи параметров, его общий вид приведен на фиг. 1. В рамках квазиодномерной теории рассчитывались параметры конденсированной фазы ρ_a , u_a , l_a , и затем это использовалось при численном интегрировании уравнений (1.3) и (2.2). Стремясь получить качественные результаты о развитии процесса эрозии сопел, полагали расход $(\rho u)_w$ равным среднему расходу в канале, т. е. $(\rho u)_w = \text{const}/y_w$.

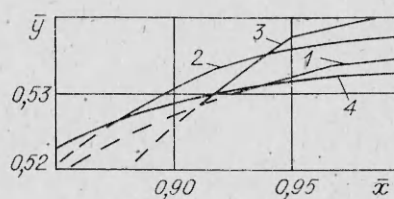
По уравнению (1.3) определялся пучок траекторий, вычислялось локальное значение угла и скорости соударения, осуществлялось интегрирование уравнения (2.2) на один шаг по времени, уточнялось положение твердой границы $y_w(x, t)$, а затем производился расчет пучка траекторий для изменившихся условий. Процедура повторялась необходимое число раз. Полное время интегрирования не превышало время развития неустойчивости в системе, определенное по (3.2) ($T < \tau$). Для изучения развития неустойчивости требуются специальные методы расчета, что является задачей дальнейшего исследования.

На фиг. 2 приведены результаты расчета максимальной глубины износа, отнесенной к радиусу проходного сечения (кривая 2), $\Delta \bar{y}_w = [y_w(x, t) - y_w(x, 0)]_{\text{max}} / y_w(x_{\text{max}}, 0)$ в зависимости от размера эродирующих частиц. Можно видеть, что существует фракция частиц, представляющих наибольшую опасность при разрушении сопла с заданной геометрией стенок. Отметим одну особенность в расчете области разрушения при эрозии монодисперсными частицами. В этом случае левая граница расчетной области x_1 является подвижной, поэтому геометрия кратера эрозии справа от точки x_1 определяется наклоном предельной траектории $dy_a^*(x_1)/dx$. На фиг. 3 показано, как работает расчетный алгоритм с учетом этого обстоятельства. Кривые 1—3 обозначают положение контура сопла при эрозии частицами с диаметром 2,0; 3,3; 4,3 мкм соответственно, кривая 4 — положение контура сопла до начала эрозии. Можно видеть, что кривые 1—3 составлены из кусков предельных траекторий $y_a^*(x)$ (обозначены штрихами) и продолжены контуром $y_w(x, t)$ правее точки $x^*(t)$, удовлетворяющей условию $y_w(x^*, t) = y_a^*(x^*, t)$.

На фиг. 2 показана зависимость скорости эрозии U при $x = 0,98$ (на фиг. 1 указана стрелкой) от размера эродирующих частиц (кривая 3). Видно, что скорость эрозии монотонно возрастает с увеличением диаметра частиц, что непосредственно следует из выражения (1.4) для разности наклонов

$$y'_a - y'_w.$$

Заметим, что при эрозии полидисперсными частицами следует использовать уравнения (2.1) для расчета результирующих повреждений. Из анализа данных, приведенных на фиг. 2, 3, следует, что в этом случае необходимо знать функцию распределения частиц по размерам. Вид кривой распределения имеет более существенное влияние на эрозию, чем на другие параметры двухфазного течения, что согласуется с выводами [16].



Ф и г. 3

ЛИТЕРАТУРА

1. Neilson J. H., Gilchrist A. An analytical and experimental investigation of the trajectories of particles entrained by the gas flow in nozzles.— J. Fluid Mech., 1968, vol. 35, p. 549.
2. Neilson J. H., Gilchrist A. An experimental investigation into aspects of erosion in rocket motor tall nozzles.— Wear, 1968, N 11.
3. Рафиков Р. В., Зауличный Е. Г. и др. Численное исследование двухфазного течения в осесимметричном канале с учетом реальных механизмов разрушения его стенок.— Изв. СО АН СССР. Сер. техн. наук, 1981, № 3, вып. 1.
4. Шелдон, Маджи, Кроу. Эрозия трубы в газовом потоке, содержащем частицы.— Теор. основы инж. расчетов, 1977, № 2.
5. Рафф А. У., Видерхорн С. М. Эрозия при ударе твердых частиц.— В кн.: Эрозия. М.: Мир, 1982.
6. Трунев А. П., Фомин В. М. Обтекание тел двухфазным потоком типа газ — твердые частицы с учетом эрозии.— ПМТФ, 1983, № 1.
7. Стернин Л. Е. Основы газодинамики двухфазных течений в соплах. М.: Машиностроение, 1974.
8. Marble F. Dynamics of dusty gases.— Ann. Rev. of Fluid Mech., 1970, vol. 2, N 4.
9. Крайко А. Н., Ткаленко Р. А. К решению прямой задачи теории сопла Лавалья для двухфазной смеси при малом отставании частиц.— ПМТФ, 1973, № 4.
10. Кам олов В. Н., Маслов Б. Н., Пирумов У. Г. Исследование траекторий частиц в соплах Лавалья.— Изв. АН СССР. МЖГ, 1971, № 5.
11. Шелдон. Сходства и различия в эрозионном поведении материалов.— ТОИР, 1970, № 3.
12. Wakeman T., Tabakoff W. Erosion behaviour in a simulated jet engine environment.— J. Aircraft, 1979, vol. 16, N 12.
13. Bryan G. M., Pugh F. M. Cratering of lead by oblique impacts of hypervelocity steel pellets.— J. Appl. Phys., 1962, vol. 33, N 2.
14. Старр В. Физика явлений с отрицательной вязкостью. М.: Мир, 1971.
15. Яненко И. Н., Солоухин Р. И., Паньрин А. Н., Фомин В. М. Сверхзвуковые двухфазные течения в условиях скоростной неравновесности частиц. Новосибирск: Наука, 1980.
16. Ketner D. M., Hess K. S. Particle impingement erosion. AIAA Pap. N 1250, 1979.

Поступила 27/XII 1983 г.

УДК 54—138

МЕТОД ПОТОКОВ В КИНЕТИКЕ КОАГУЛЯЦИИ

А. А. Ликальтер

(Москва)

Изменения концентрации и распределения по размерам частиц аэрозоля в широком диапазоне условий вызваны коагуляцией [1]. Измеренные распределения частиц по радиусам имеют куполообразный вид. Верхняя часть купола обычно описывается так называемым нормальным логарифмическим распределением. Правое крыло может спадать значительно медленнее, по степенному закону [2]. Степенной спектр частиц атмосферного аэрозоля обнаружен в [3]. Впоследствии он был объяснен на основе представления о постоянном потоке массы по спектру частиц. С точностью до коэф-